

$\mu = 1 \text{ f. E.}, \rho = 0 \text{ j. } \vec{0}$ nichtleitend $D = \epsilon \epsilon_0 \vec{E}$ lineare Optik $\nabla \cdot \vec{D} = 0 \nabla \times \vec{E} = -\frac{\partial \vec{B}}{\partial t} \nabla \cdot \vec{B} = 0 \nabla \times \vec{B} = \mu_0 \frac{\partial \vec{J}}{\partial t}$ Wellengleichungen $\Delta \vec{E} - \epsilon \epsilon_0 \mu_0 \frac{\partial^2 \vec{E}}{\partial t^2} = 0$

$\Delta \vec{B} - \epsilon \epsilon_0 \mu_0 \frac{\partial^2 \vec{B}}{\partial t^2} = 0$ Phasengeschwindigkeit $v_\phi = \frac{1}{\sqrt{\epsilon \epsilon_0 \mu_0}} = \frac{1}{\epsilon} \cdot c = \frac{c}{n}$ Ebene Welle $\vec{E}(\vec{r}, t) = \vec{E}_0 \cdot \cos(\omega t - \vec{k} \cdot \vec{r} + \phi)$ Dispersionsrelation $\vec{k}^2 = \sum k_i^2 = \frac{n^2 \omega^2}{c^2}$

$k = |\vec{k}| = \frac{2\pi n}{\lambda} \Rightarrow \lambda = \frac{2\pi n}{k} = \frac{2\pi c}{\omega} = \frac{c}{\nu}$ (Vakuumwellenl.) $\lambda_m = \frac{\lambda}{n}$ im Medium $\omega = 2\pi \nu = \frac{2\pi}{T} \quad c = \lambda \nu = \frac{\lambda \omega}{2\pi}$ Analyt. Feld $\vec{E}_c(\vec{r}, t) = \vec{E}_0 e^{i(\omega t - \vec{k} \cdot \vec{r} + \phi)}$

$\Rightarrow \vec{E}(\vec{r}, t) = \text{Re}(\vec{E}_c(\vec{r}, t)) = \frac{1}{2} (\vec{E}_0 e^{i(\omega t - \vec{k} \cdot \vec{r} + \phi)} + \vec{E}_0^* e^{-i(\omega t - \vec{k} \cdot \vec{r} + \phi)})$ Transversale Wellen $\vec{k} \perp \vec{E}, \vec{k} \perp \vec{B}$ | $|\vec{E}| = \frac{c}{|\vec{B}|}$ isotope Medien | Energiestromdichte $\vec{S}(\vec{r}, t) = \frac{1}{\mu_0} (\vec{E} \times \vec{B})$

$\vec{S}(\vec{r}, t) = \epsilon_0 c^2 (\vec{E} \times \vec{B})$ Intensität $I = \langle |\vec{S}| \rangle = \frac{1}{T} \int |\vec{S}| dt = \epsilon_0 n c \langle |\vec{E}|^2 \rangle$ Vakuumimpedanz $Z_0 = \epsilon_0 c = 377 \Omega \quad I = \frac{1}{2} \epsilon_0 n c |\vec{E}_0|^2$ reelles physik. Feld, linear polarisiert
Strahlungsdruck $P_e = \frac{I}{c} \quad |P_s = 2 \frac{I}{c}$ vollst. Reflexion | Superposition $\vec{E} = \vec{E}_1 + \vec{E}_2$ Fourier $\vec{E}(t) = \frac{1}{2\pi} \int_{-\infty}^{\infty} \vec{E}_\omega(t) e^{-i\omega t} d\omega \quad \vec{E}_\omega(t) = \int_{-\infty}^{\infty} \vec{E}(t) e^{-i\omega t} dt$

Frequenzunschärfe $\Delta \nu = \frac{1}{\Delta t} \quad \Delta \omega_p \Delta t_p \approx 2\pi \quad \Delta \nu_f \Delta t_f \approx 1$ Dispersion $k(\omega) = k(\omega_0) + \Omega k'(\omega_0) + \frac{1}{2} \Omega^2 k''(\omega_0) + \dots \quad \omega = \omega_0 + \Omega$ Wellenpaket $E(z, t) = \frac{1}{2\pi} \int E(\omega) e^{i(kz - \omega t)} d\omega$
Gruppen geschw. $v_{gr} = \frac{c}{n} - \frac{k \cdot c}{n^2} \frac{dn}{dk} \quad \frac{1}{v_{gr}} = \frac{1}{v_{ph}} \left(1 - \frac{\lambda}{n} \frac{dn}{d\lambda}\right) \quad |v_{gr} = v_{ph} = c$ im Vakuum | Vergrößerung der Impulsdauern $\Delta t(0) = \Delta t_0 \sqrt{1 + (\Omega \omega_0)^2 / (\omega_0^2)^2}$

für $E_{ex}(t) = e^{-\frac{t}{\tau}}$ Dispersion $|s(\omega)| \approx 1$ verdünnte Medien | $n_R = 1 + \frac{e^2 N}{2\epsilon_0 m (\omega_p^2 - \omega^2 + \gamma^2)}$ $n_I = \frac{e^2 N}{2\epsilon_0 m (\omega_p^2 - \omega^2 + \gamma^2)}$ $n = n_R + i n_I \quad \frac{1}{a} = \frac{\lambda}{4\pi n_I}$ normale Wellenlänge |
Absorption $E(t, z) = E_0 e^{i(\omega t - kz)} = E_0 e^{-\frac{z}{L}} e^{i(\omega t - kz)}$ \Rightarrow Intensität $I(z) = I(0) e^{-\frac{2z}{L}} = I(0) e^{-\alpha z}$ Extinktionskoeffizient $\alpha = \frac{2\omega n_I}{c}$

Eindringtiefe $d = \frac{1}{\alpha}$ Durchlässigkeit / Transmission $T = \frac{I(z)}{I(0)} = e^{-\alpha z}$ Absorptionskoeffizient $\alpha = k_0 \cdot a = -2k_0 n_I = -\frac{2\omega n_I}{c} = -\frac{2\omega n_I}{c}$ Leitungsverlustdichte
Absorptionsquerschnitt $\sigma: I(z) = I(0) e^{-\sigma N z}$ Normale Dispersion $\frac{dn}{d\omega} > 0 > \frac{dn}{d\lambda}$ Dielektrische Metalle $\epsilon(\omega) = 1 - \frac{\omega_p^2}{\omega^2}$, $\omega_p^2 = \frac{e^2 N}{\epsilon_0 m}$

Leitfähigkeit $\vec{r}_L = \frac{\epsilon_0 \omega p^2}{\epsilon}$ $\Rightarrow \epsilon(\omega) = 1 - \frac{\omega_p^2}{\omega^2 - i\omega \nu}$ Grenzflächen: Stehwellbedingungen E^+ , H^+ stetig; D^+ , B^+ stetig
Reflexionsgesetz $\vec{k}_e \vec{r} = \vec{k}_r \vec{r} = \vec{k}_t \vec{r} \quad \theta_e = \theta_r$ Einfallswinkel = Ausfallswinkel! Snellius $n_1 \sin(\theta_e) = n_2 \sin(\theta_t) \quad \theta_t = \arcsin\left(\frac{n_1}{n_2}\right)$

Fresnel $r = \frac{n_2 \cos \theta_i - n_1 \cos \theta_t}{n_2 \cos \theta_i + n_1 \cos \theta_t}$, $t = \frac{2 n_1 \cos \theta_i}{n_2 \cos \theta_i + n_1 \cos \theta_t}$, $R = \left(\frac{1 - \frac{n_2}{n_1} \cos(2\theta_i)}{1 + \frac{n_2}{n_1} \cos(2\theta_i)}\right)^2$, $R = |r|^2 = r \cdot r^*$ senkrechte Wellenlänge | $r_{\parallel} = \frac{E_r}{E_i} = \frac{n_2 \cos(2\theta_i) - n_1 \cos(2\theta_t)}{n_2 \cos(2\theta_i) + n_1 \cos(2\theta_t)} = \frac{\tan(\theta_e - \theta_t)}{\tan(\theta_e + \theta_t)}$ p-pol.
 $r_{\perp} = \frac{E_r}{E_i} = \frac{n_2 \cos(\theta_e) - n_1 \cos(\theta_t)}{n_2 \cos(\theta_e) + n_1 \cos(\theta_t)} = -\frac{\sin(\theta_e - \theta_t)}{\sin(\theta_e + \theta_t)}$ s-pol. $R_{\parallel} = |r_{\parallel}|^2$, $R_{\perp} = |r_{\perp}|^2$ Totalreflexion $\theta_t = \arcsin\left(\frac{n_1}{n_2}\right) \quad \theta_e > \theta_t \Rightarrow R_{\parallel} = R_{\perp} = 1$

Evaneszenz Wellen $k_{xy} = k_{x\pm} = \pm i k_z = \pm i \sqrt{\frac{n_1^2}{c^2} \sin^2(\theta_e) - 1} = \pm i \beta \Rightarrow \vec{E}(x, y, t) = \vec{E}_0 e^{-\beta x} e^{i(k_y y - \omega t)}$ (exponentieller Abfall) $d = \frac{1}{\beta}$
optisch dünnes Medium auf optisch dichteres Medium: Schicht wird zum Lot hingelockert. Bed. für Totalreflexion: $n_e > n_t$
Lichtwellenleiter / Glasfasern: $n_0 \cdot \sin(\phi_{max, a}) = n_c \sin(\phi_{max}) \quad \phi_{max} = \frac{\pi}{2} - \theta_t \quad \theta_t = \arcsin\left(\frac{n_1}{n_2}\right)$ Numerische Apertur: $NA = n_0 \cdot \sin(\phi_{max, a}) = \sqrt{n_1^2 - n_2^2}$
 $t_f = n_c \frac{L}{c}$ entlang der Faserachse $t_f' = \frac{n_c L}{c} \frac{1}{\cos(\theta_{max})} \approx \frac{n_c L}{c} \frac{n_c L}{c} \left(1 + \frac{1}{2} \sin^2(\theta_{max})\right) = t_f + \Delta t$ meist entlang der Faserachse Informationsverlust $\Delta t > \delta t$

Fermatsches Prinzip $W(s) = \int n(\vec{r}) ds$; $\left(\frac{\delta W(s)}{\delta s}\right)_{s_0} = 0 \quad s_0$ optischer Weg, Strahlengänge sind umkehrbar, Geradlinig in hom. Med. $\theta_e = \theta_i$

Prisma mit Winkel α : $\delta = \theta_e - \alpha + \arcsin(\sin(\theta_i) \sqrt{n^2 - \sin^2(\theta_i)}) - \sin(\theta_e) \cos(\alpha)$ | $\sin\left(\frac{\theta_{min} + \alpha}{2}\right) = n \cdot \sin\left(\frac{\alpha}{2}\right)$ Symmetrische Durchstr. |
Paraxiale Näherung $\tan \theta \approx \sin \theta \approx \theta$ Reelle Abb.: Virtuelle Abb.:

Kugelspiegel
Gegenstandsweite g
Brennweite $f_a = \frac{n_2 r}{n_2 - n_1}$ ($n_2 > n_1$)

Paramet.: $\delta x \approx \frac{h}{g}$
 $\theta = \beta - \alpha = \alpha - \gamma$
 $\frac{1}{g} + \frac{1}{g'} = \frac{2}{r} = \frac{1}{f}$
 $\beta \approx \frac{h}{g}$ Abblg. für Kugelspiegel
Konstruktion des Bildes:
I parallel zu optischer Achse
II durch f , dann durch f
III durch Mittelpunkt d. Instrumentes
Konusstrahlstrahlen: $n_1 \theta_e = n_2 \theta_t$
Abblg. für brechende Kugeloberflächen
 $\frac{n_1}{g} + \frac{n_2}{g'} = \frac{n_2 - n_1}{r}$
Bildbrennweite $f_B = \frac{n_2 r}{n_2 - n_1}$ ($g > 0$)

Dünne Linsen
 $\frac{n_1}{g} + \frac{n_2}{g'} = \frac{n_2 - n_1}{r_1} + \frac{n_2 - n_2}{r_2}$
Linsmakers Formel
 $\frac{1}{g} + \frac{1}{g'} = (n-1) \left(\frac{1}{r_1} - \frac{1}{r_2}\right) = \frac{1}{f}$
Transversale Vergr.
 $V_T = \frac{g'}{g} = -\frac{h'}{h} = \frac{f}{f-g}$
Longitudinale/axiale Vergr.
 $V_L = \frac{dg}{dg'} = -\frac{f^2}{(g-f)^2} = -V_T^2$

Gegenstandsweite	Abbildungstyp	Bildweite	transverse Vergr.
$2f < g < \infty$	reell	$f < b < 2f$	$-1 < V_T < 0$ vergr.
$g = 2f$	reell	$b = 2f$	$V_T = -1$
$f < g < 2f$	reell	$2f < b < \infty$	$V_T < -1$ vergr. (Sammellinse)
$g = f$	-	$b \rightarrow \infty$	-
$0 < g < f$	virtuell	$b < f$	$V_T > 1$ vergr.

	> 0	< 0
g	G links von S	G rechts von S
f_a	F_a links von S	F_a rechts von S
b	B rechts von S	B links von S
f_B	F_B rechts von S	F_B links von S
r	M rechts von S	M links von S

Dicke Linsen
 \Rightarrow Hauptebenen bestimmen
 \Rightarrow Linsmakers Formel

Matrixformalismus
 $\vec{S} = \begin{pmatrix} n_1 \alpha \\ x \end{pmatrix}$ zur opt. Achse
 $\vec{S}_a = \begin{pmatrix} n_2 \alpha' \\ x' \end{pmatrix} = \begin{pmatrix} n_2 \alpha_0 \\ x_0 \end{pmatrix} = \vec{S}_0$ $P_{ab} = \begin{pmatrix} n_2 - n_1 & 0 \\ 0 & r_{ab} \end{pmatrix}$
Brechungsmatrix
 $\vec{S}_a = \begin{pmatrix} 1 & -P_{ab} \\ 0 & 1 \end{pmatrix} \vec{S}_0$
Translationsmatrix
 $\vec{S}_a = \begin{pmatrix} 1 & 0 \\ \frac{D}{n_2} & 1 \end{pmatrix} \vec{S}_0$
Dünne Linse:
 $\vec{S} = \begin{pmatrix} 1 & -P_{ab} - P_{bc} \\ 0 & 1 \end{pmatrix} \vec{S}_0$
Kombination: $M = \vec{T}_c \vec{P}_{bc} \vec{T}_b \vec{P}_{ab} \vec{T}_a = \begin{pmatrix} 1 & -\frac{1}{f} \\ 0 & 1 \end{pmatrix}$

Hauptebenen
 $\vec{S} = \vec{T}_R \vec{M} \vec{T}_L$ $h_2 = \frac{n_2}{M_{22}} (1 - M_{22})$ $h_1 = -\frac{n_1}{M_{11}} (1 - M_{11})$ $f = -\frac{1}{M_{12}}$
Kombination dünner Linsen
 $h_1 = \frac{f_1 f_2}{f_1 + f_2}$ $h_2 = -\frac{f_1 f_2}{f_1 + f_2}$ $\frac{1}{f} = \frac{1}{f_1} + \frac{1}{f_2}$
Brechungsmatrix
 $D_i = \frac{1}{f_i}$ $h_1 = -\frac{f(n-1)d}{n r_2}$ $h_2 = -\frac{f(n-1)d}{n r_1}$
 $\frac{1}{f} = (n-1) \left[\frac{1}{r_1} - \frac{1}{r_2} + \frac{(n-1)d}{n r_1 r_2} \right]$
Dicke Linse
Abwärtige Abbildung
 $\alpha(\lambda) = \frac{1}{f(\lambda)} = (n(\lambda) - 1) \left(\frac{1}{r_1} - \frac{1}{r_2} \right)$
 $\Delta D_i = (n_i - n_c) \Delta i = \frac{1}{f_i} \Delta i$
 $V_{hi} = \frac{n_i - 1}{n_c - 1}$ Abs-Zahl

Sphärische Abbeutung $\sin \phi = \phi - \frac{\phi^3}{3!} + \frac{\phi^5}{5!} - \frac{\phi^7}{7!} + \dots$ Einfallswinkel minimieren, mehrere Linsen, Begrenzung Pupille durch Blende.
Koma: Strahlen durchlaufen unversch. Bereiche, Bild verschmälern Astigmatismus: Kleinsparallele Strahlen vs. solche mit Winkel ν
Gesamtfeldwinkel $\epsilon = \frac{\omega}{5}$ Gesichtsfelddurchmesser Raumwinkel $\Omega_e = \frac{\Omega}{2}$ Bildhelligkeit $H \propto \frac{\Omega_e^2}{f^2} \approx \frac{D^2}{f^2}$ $g \gg f$ Blenden-f-g-Zahl $F = \frac{f}{D}$
Menschliches Auge Hornhaut $n \approx 1,37$ Konventionelle Sehweite $s_0 = 25 \text{ cm}$ Weitsehweite s_0 Lupe zu kurz, Brille sammelt Kurzsichtigkeit Lupe zu lang, Brille streut
Vergrößernde Instrumente $V = \frac{\text{Sehwinkel mit Instrument}}{\text{Sehwinkel ohne Instrument}} = \frac{\epsilon_0}{\epsilon}$ $V = \frac{\text{Sehwinkel mit Instrument}}{\text{Sehwinkel im Abstand } s_0} = \frac{\epsilon_0}{\epsilon_0}$ Abbildung aus dem Unendlichen $B = f \cdot \epsilon$
Lupe $V_L = \frac{\epsilon_0}{\epsilon} = \frac{s_0}{f_L} = \frac{25 \text{ cm}}{f_L}$ Mikroskop $V_{ok} = \frac{b}{g} = b \left(\frac{1}{f_{ok}} - \frac{1}{b} \right) = \frac{b \cdot f_{ok}}{f_{ok} \cdot b} + \frac{1}{f_{ok}} \approx \frac{1}{f_{ok}} + \frac{1}{f_{ok}}$ $\approx \pm 1,6 \text{ cm}$ Tubusstänge $l = b - f_{ok}$ Vergrößerung $V_{kino} = V_{ok} \cdot V_{ok} = \frac{1}{f_{ok}^2}$
Numerische Apertur $NA = n \sin \theta_{max}$ Fernrohr $V_{fernrohr} = \frac{\epsilon_0}{\epsilon} = \frac{f_{ok}}{f_{ok}}$ Spiegelteleskope Konvex-Parabolspiegel + Plan(Newton) / Ell.(Gregory) / Konvexer Hyp. (Cassegrain)
Fotoapparat, Lupe: $r = s \geq 1,22 \frac{f \cdot \lambda}{d}$ Teleskop: $\alpha_{min} > 1,22 \frac{\lambda}{D}$ Mikroskop: $s \geq \frac{\lambda}{n \cdot \sin \alpha}$
(auf lösbare Bildpunktstand s) (Durchmesser primärer Teleskoplinse D) (halber Öffnungswinkel α)
(Winkel auf. Winkelabst. α_{min})

Huygens Superposition von Kugelwellen

Richtungskosinus $\alpha = \frac{x}{R}$, $\beta = \frac{y}{R}$ bzw. $\alpha_0 = -\frac{x_0}{R_0}$, $\beta_0 = \frac{y_0}{R_0} \Rightarrow k_x = k \cdot \alpha$, $k_y = k \cdot \beta$

Fresnel-Kirchhoff $U_0(x, y) = \int \int \Omega(\xi, \eta) U_e(\xi, \eta) d\xi d\eta \Rightarrow U_p(R) \propto \int \int \frac{\exp(ik(r-r_0))}{rR_0} d\xi d\eta$ $U_p(\alpha, \beta) \propto \frac{1}{RR_0} \int \int \exp(-ik(\alpha-\alpha_0)\xi - ik(\beta-\beta_0)\eta) d\xi d\eta$

Normale Incidenz: $\alpha_0 = \beta_0 = 0$; R, R_0 groß

$\Rightarrow U_p(\alpha, \beta) \propto \int \int \Omega(\xi, \eta) \exp[-ik\alpha\xi - ik\beta\eta] d\xi d\eta$

Fraunhofer (fern)

$U_p(\alpha, \beta) = \frac{1}{R_0} \int \int \Omega(\xi, \eta) e^{-ik\alpha\xi - ik\beta\eta} d\xi d\eta$ $\frac{1}{R_0} = \frac{c_0}{R \cdot R_0}$

Fresnel (nah) $U_p(R) = \frac{1}{R_0} \int \int \exp[-ik \frac{\xi^2 + \eta^2}{2R_0} (R+R_0)] d\xi d\eta$

$= \frac{1}{R_0} \int \int \exp(-ik(\alpha-\alpha_0)\xi - ik(\beta-\beta_0)\eta) d\xi d\eta$

Babinet'sches Prinzip: Komplementäre Blenden: gleiche Beugungsintensität.

Beugung an dünnem Spalt

$U_p(\alpha, \beta) \propto \int_{-b/2}^{b/2} \exp(-ik\beta\eta) d\eta \Rightarrow U_p(\beta) \propto \text{sinc}(k\beta \frac{b}{2}) \Rightarrow I \propto \text{sinc}^2(k\beta \frac{b}{2})$
 Nullstellen d.sinc sind Intensitätsminima
 Extrema d.sinc sind Intensitätsmaxima
 (Öffnungswinkel nach Beugung in y-Richtung θ)

$I(\beta=0) = b^2 \Rightarrow \frac{I(\beta)}{I(0)} = \text{sinc}^2(k\beta \frac{b}{2}) = \text{sinc}^2(\frac{\pi b \sin\theta}{\lambda}) = \text{sinc}^2(\beta)$
 $\beta = \frac{\sin\theta}{\lambda}$

$\text{sinc}(\beta_{\min}) = \pm \frac{n\lambda}{b}$ Minima $\text{sinc}(\beta_{\max}) = \pm \frac{2n+1}{2} \frac{\lambda}{b}$ Maxima
 Rechteckblende $\frac{I(\alpha, \beta)}{I_0} = \text{sinc}^2(\frac{1}{2}k\alpha) \text{sinc}^2(\frac{1}{2}k\beta) \text{sinc}^2(\phi) = 1$

Kreisförmige Öffnung $J_1(\frac{k_0 \sin\theta}{2})^2$ J_1 -Besselfunktion, Intensitätsverlauf durch Spalt, aber rotationssym.
 Minima $\text{sinc}(\beta_{\min}) \approx 1,22 \frac{\lambda}{D}$; $1,23 \frac{\lambda}{D}$; $(n + \frac{1}{4}) \frac{\lambda}{D}$

Doppelspalt Beide Breite b , im Abstand a ($a > b$) $U_p(\alpha, \beta) = \frac{2 \cos(\frac{k\alpha}{2}) \text{sinc}(k\beta \frac{b}{2})}{k/2} \Rightarrow I(\beta=0) = 4b^2 \Rightarrow \frac{I(\beta)}{I(0)} = \cos^2(k\beta \frac{a}{2}) \frac{\text{sinc}^2(k\beta \frac{b}{2})}{(k\beta \frac{b}{2})^2}$
 $\beta = \sin\theta$

Maxima $\frac{a}{\lambda} P_{\max} = n$

Beugung am Gitter N lange Spalte $\Rightarrow U_{\text{Gitter}}(\beta) = U_0 \frac{\text{sinc}(Nk\beta \frac{a}{2})}{\text{sinc}(k\beta \frac{a}{2})} e^{-i(N-1)k\beta \frac{a}{2}}$
 Gitterkonstante (Abstand) a
 Gittergleichung

Intensitätsverlauf $I_G(\beta=0) = N^2 \Rightarrow \frac{I_G(\sin\theta)}{I_G(0)} = \frac{\text{sinc}^2(Nk\frac{a}{2} \sin\theta)}{N^2 \text{sinc}^2(k\frac{a}{2} \sin\theta)}$
 Einfallswinkel θ_0 $\beta_0 = \sin\theta_0 \neq 0$ Lage der Hauptmaxima
 Transmissionswinkel $\theta \Rightarrow \sin\theta \rightarrow \sin\theta - \sin\theta_0$
 $a(\sin\theta - \sin\theta_0) = n\lambda, n \in \mathbb{Z}$

Intensität der Hauptmaxima = N^2 Intensität von Beugung am einzelnen Spalt, θ vom. H-Richtung umgekehrt zum Prisma.

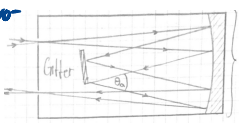
Nullstellen der Beugungsintensität $a(\sin\theta - \sin\theta_0) = \pm \frac{m}{N} \lambda \pm n\lambda, m \in \{1, \dots, N-1\}, n \in \mathbb{Z}$ oder $\sin\theta_m = \sin\theta_0 + m \frac{\lambda}{a}$

Nebenmaxima ($N-2$ Stück): $a(\sin\theta - \sin\theta_0) \approx \pm \frac{2m+1}{2N} \lambda \pm n\lambda, m \in \{1, \dots, N-2\}$ Intensität von $\frac{1}{N^2}$ Intensität der Hauptmaxima

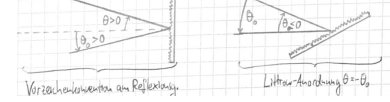
Volle Breite eines Hauptmax. Minims (bei halber Höhe) $\Delta \Sigma \approx 0,885 \frac{\lambda}{aN}$ Rayleigh-Kriterium Abstand Hauptmaxima $> \Delta \Sigma$

Auflösung $\frac{\lambda}{\Delta \lambda} = nN$ $a\Sigma = n\lambda \Rightarrow \exists \lambda_0: n\lambda_0 \leq 2a$ Länge eines Gitters $L = N \cdot a$ Unschärfe bei $\Delta \lambda \approx \frac{2a}{n} \frac{\lambda}{L} \cos\theta$ Littrow
 Wellenl. best.
 Littrow-Anordnung
 Blaze
 $\theta_a \neq 0$, weil $\theta = -\theta_0$
 $\Rightarrow 2a \sin\theta = n\lambda, n \in \mathbb{N}$

Gitter spektro- meter



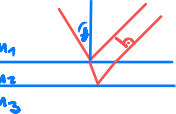
Vorsichtskonvention



Bragg-Reflexion



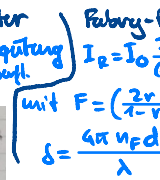
$2d \sin\theta = n\lambda$



$2n, d \cos\theta = (m + \frac{\Delta\phi}{2\pi}) \lambda$
 $\Delta\phi = \begin{cases} \pi, & m \text{ ungerade } n_1 \neq n_2 \\ 0, & m \text{ gerade } n_1 = n_2 \end{cases}$

Kohärenz = Interferenzfähigkeit
 Licht als populäre sinus welle
 Kohärenzzeit Phase $\rightarrow 2\pi \rightarrow \Delta t_c \Rightarrow \Delta l_c = c \Delta t_c$
 Interferenz $\vec{E}(r, t) = \sum \vec{E}_i(r, t)$
 $I(\vec{r}, t) = |\sum \vec{E}_i(r, t)|^2$
 $= I_1 + I_2 + 2\sqrt{I_1 I_2} \cos\phi$
 $\phi = (\vec{k}_2 - \vec{k}_1) \cdot \vec{r} - \phi$
 $I = I_2$
 $\Rightarrow \phi = 2m\pi, m \in \mathbb{N} \Rightarrow I = 4I_1$
 $\phi = (2m+1)\pi, m \in \mathbb{N} \Rightarrow I = 0$

Interferometer



Fabry-Pérot: $I_R = I_0 \frac{2n^2(1-\cos\delta)}{(1+r^4)-2r^2\cos\delta} = I_0 \frac{F \text{sinc}^2(\delta/2)}{(1+F \text{sinc}^2(\delta/2))}$
 mit $F = (\frac{2r}{1-r^2})^2 = \frac{4R}{(1-R)^2}$ $I_T = I_0 - I_R = I_0 \frac{1}{1+F \text{sinc}^2(\delta/2)}$
 $\delta = \frac{4\pi n d}{\lambda} \cos\theta_F$ $D_\lambda = \frac{\lambda^2}{2nd \cos\theta_F} = \lambda - \lambda'$

Doppelbrechung

einachsige Kristalle: $\Delta l = d(n_o - n_e)$
 $\Rightarrow \Delta\phi = \frac{2\pi d}{\lambda} (n_o - n_e)$
 $\frac{1}{n_o(\theta)^2} = \frac{\cos^2\theta}{n_o^2} + \frac{\sin^2\theta}{n_e^2}, n_o = \sqrt{\epsilon_{\perp}}$ oder
 "Walk-off"-angle: $\beta(\theta) = \pm \arctan(\frac{n_o}{n_e} \tan\theta) \mp \theta$
 $n^e(\theta) = n_o \sqrt{\frac{1 + \tan^2\theta}{1 + (\frac{n_o}{n_e})^2 \tan^2\theta}}$
 $\epsilon_{\parallel} = \begin{pmatrix} \epsilon_{\perp} & 0 & 0 \\ 0 & \epsilon_{\perp} & 0 \\ 0 & 0 & \epsilon_{\parallel} \end{pmatrix}$

Polarisation

Jones-Vektoren $u_{n,x}: \begin{pmatrix} 1 \\ 0 \end{pmatrix}$ $u_{n,y}: \begin{pmatrix} 0 \\ 1 \end{pmatrix}$ $u_{n,45^\circ}: \frac{1}{\sqrt{2}} \begin{pmatrix} 1 \\ 1 \end{pmatrix}$ $u_{n,-45^\circ}: \frac{1}{\sqrt{2}} \begin{pmatrix} 1 \\ -1 \end{pmatrix}$

linear

Polarisatorwahrnehm x -pol.: $\begin{pmatrix} 1 & 0 \\ 0 & 0 \end{pmatrix}$ y -pol.: $\begin{pmatrix} 0 & 0 \\ 0 & 1 \end{pmatrix}$ 45° -pol.: $\frac{1}{2} \begin{pmatrix} 1 & 1 \\ 1 & 1 \end{pmatrix}$ -45° -pol.: $\frac{1}{2} \begin{pmatrix} 1 & -1 \\ -1 & 1 \end{pmatrix}$

zirkular

Wellenplättchen $\lambda/4$, schnelle vertikal: $e^{i\pi/4} \begin{pmatrix} 1 & 0 \\ 0 & -i \end{pmatrix}$ $\lambda/4$, schnelle horiz.: $e^{i\pi/4} \begin{pmatrix} 1 & 0 \\ 0 & i \end{pmatrix}$ $\lambda/2$, s.v.: $e^{i\pi/2} \begin{pmatrix} 1 & 0 \\ 0 & 1 \end{pmatrix}$ $\lambda/2$, s.h.: $e^{i\pi/2} \begin{pmatrix} 1 & 0 \\ 0 & -1 \end{pmatrix}$

+ linkszirkular

$\lambda/4$, s. θ zu h.: $e^{i\pi/4} \begin{pmatrix} \cos^2\theta + i \sin^2\theta & (1-i) \sin\theta \cos\theta \\ (1-i) \sin\theta \cos\theta & \sin^2\theta + i \cos^2\theta \end{pmatrix}$ $\lambda/2$, s. θ zu h.: $e^{i\pi/2} \begin{pmatrix} \cos^2\theta - \sin^2\theta & 2 \cos\theta \sin\theta \\ 2 \cos\theta \sin\theta & \sin^2\theta - \cos^2\theta \end{pmatrix}$
 $\lambda/2$: $(2m+1)\pi$
 $\lambda/4$: $(2m+1)\pi/2$

- rechtszirkular

Bezugssystemwechsel (Rotationsmatrix) $R(\theta) = \begin{pmatrix} \cos\theta & -\sin\theta \\ \sin\theta & \cos\theta \end{pmatrix}$ $J' = R(-\theta) J R(\theta)$
 $\Delta\phi = \frac{2\pi}{\lambda} d(n_o - n_e)$

Photoeffekt

Einstromgleichung $p = \hbar k$ $E_{ph} = \hbar \nu$
 $F = q_e E$ $G_{\text{min}} = \int F dx = q_e U$ $N = \frac{C V}{m} = \frac{V \lambda_s}{m} = \frac{W_s}{m}$ $G_{\text{min, max}} = e U_{\text{max}}$
 $E_{\text{min, max}} = \hbar \nu - \frac{A}{e} = \hbar \nu - e U_A$ $J = V \lambda_s = W_s$ $W_s = N m$ $\Leftrightarrow U_{\text{max}} = \frac{\hbar \nu}{e} - U_A$
 E_{ph} Lichtintensität

- Strom setzt oberhalb der. Freq. ν_{grenz} ein.
- Gegenspannung $\Rightarrow U_{\text{max}} \Rightarrow$ kein Strom mehr
- Sättigungsstrom proportional zur Intensität d. einfallenden Lichtes
- Lichteffekt \rightarrow Einsetzen des Stromes praktisch instantan.

$1 \text{ eV} = 1,602 \cdot 10^{-19} \text{ J}$ Energie, die ein Elektron beim Durchlaufen von 1V erfährt.

$\lambda(\text{nm}) = \frac{1240}{E_{ph}(\text{eV})}$ $\hbar \nu = \hbar \omega$

$h = 6,6 \cdot 10^{-34} \text{ Js} \Rightarrow 4,14 \cdot 10^{-15} \text{ eVs}$ $\eta = \frac{h}{2\pi} = 1,055 \cdot 10^{-34} \text{ Js} = 6,58 \cdot 10^{-16} \text{ eVs}$